

猪流感病毒血凝素基因的克隆和序列测定*

石成华 G. W. Both

本文报道了以两种化学合成的寡脱氧核苷酸引物合成了猪流感病毒 NJ/11/76 (X53a) 株血凝素基因的全长拷贝。并将它克隆到大肠杆菌 RRI 细胞，进行了核苷酸全序列测定。同时将血凝素的氨基酸序列与同一亚型的另两个人甲型流感毒株的氨基酸序列进行了比较。

关键词 流感病毒；反转录；克隆；序列分析；抗原变异

流感病毒的基因组由 8 个单链 RNA 片段组成。它的总核苷酸数约 14,000^[1,2]，每一基因片段的 3' 末端有 12 个相同的核苷酸序列，5' 末端有 13 个相同的核苷酸序列^[3,4]。由于这一结构上的特点，Winter 等^[5,6,7]以固相磷酸三酯法分别合成了 12 和 13 个核苷酸，以它们作为引物，合成了 A/PR/8/34 流感株编码非结构蛋白 NS₁ 和 NS₂ 基因的全长拷贝。本文应用这两个引物合成了编码血凝素蛋白 HA 基因的全长拷贝，并进行了克隆和序列测定。

材料和方法

(一) 病毒 RNA

为 1976 年由病人分离的猪流感 NJ/11/76 的重组株 X53a 中提取的基因组 RNA，由 Dr. Kilbourne 赠送^[1,2]。

(二) 引物

12 寡脱氧核苷酸 d(AGCAAAAGCAGG), 13 寡脱氧核苷酸 d(AGTAGAAACAAAGG)。

(三) 双链 DNA 的制备

50 μg 病毒 RNA (约 12 pmol 3' 末端) 加 250 pmol 的 12 寡脱氧核苷酸引物一起煮沸 1 分钟、放冰内冷却后，加入 80 单位 AMV 逆转录酶，于 200 μl 反应体积中，含 50 mM Tris·Cl pH 8.3, 70 mM KCl, 10 mM MgCl₂, 10 mM DTT, 0.5 mM dNTPs 和 14 pmol α -³²P-dATP。42℃下保温 1 小时。取上煮沸 1 分钟，冰浴冷却使合成的 ssDNA 和 RNA 分离，加入 RNase A 使终浓度为 0.125 μg/μl，

42℃ 水浴消化 RNA 10 分钟。再用酚抽提、乙醇沉淀 ssDNA，并溶于适量 TE 缓冲液 (10 mM Tris·Cl pH 7.6, 0.1 mM EDTA)。将此溶液通过 Sephadex G-100 柱层析以去除未掺入的核苷酸，测各管的放射性，合并第一峰的各管，乙醇沉淀并溶于适量 TE 缓冲液。

总的 ssDNA 加入 2.5 pmol 的 13 寡脱氧核苷酸引物，一起煮沸 1 分钟，冰内冷却，在 100 μl 反应体积中含 10 mM Tris·Cl pH 8.0, 10 mM MgCl₂, 75 mM NaCl, 1 mM DTT, 0.5 mM dNTPs (如合成的 ssDNA 计数很高，在合成 dsDNA 时，可不加 α -³²P-dATP) 和大肠杆菌 DNA 聚合酶 I 的 Klenow 片段 2 单位。37℃ 水浴保温 1 小时，继而进行酚抽提、乙醇沉淀 dsDNA，并溶于适量 TE 缓冲液。将此溶液通过 Sephadex G-100 柱层析，同前测各管放射性，合并高峰管，经乙醇沉淀后，溶于适量 TE 缓冲液。

(四) 双链 DNA 的接尾、克隆及转化子筛选

经 dC 接尾后的 DNA 在 3% 聚丙烯酰胺凝胶上电泳，由胶上切下第 4 条血凝素基因带，与经 Pst I 酶切、dG 接尾的 pBR322 载体进行重组，并转化至大肠杆菌 RRI 受体中。具体方法参阅 Sleigh 等 1979 年文献 [8]。

(五) 血凝素基因的序列测定

采用下述三种方法：(1) 将血凝素基因的 Sma I 酶切的 5 个片段次级克隆于 M13mp7.1 痘苗体中，以 Sanger 链终止法进行序列测定^[6,10]；(2)

本文于 1984 年 5 月 17 日收到。

* 本工作在澳大利亚联邦科学院分子生物实验室完成，由 Both 博士指导。

Maxam-Gilbert 化学降解法^[11]; (3)用病毒基因组 RNA 为模板, 以克隆的血凝素基因的酶切片段为引物, 在逆转录酶和 dNTP 和 ddNTP 的参与下, 分析 cDNA 的序列^[12]。

结果和讨论

(一) 猪流感血凝素基因 ssDNA 和 dsDNA 的合成

以 12 和 13 寡脱氧核苷酸合成了猪流感 NJ/11/76(X53a) 株 8 个基因全长的 ssDNA 和 dsDNA(图 1 和图 2)。在合成反应中, 出现一些短的 ssDNA(由于上样量少, 图 1 中不明显)和 dsDNA 拷贝, 可能是 12 寡聚核苷酸引物在病毒基因组上发生非特异性的结合, 从而产生带有相同 3' 末端短的转录物。这些大小不等的转录物在 13 寡聚核苷酸的作用下产生带平末端短的 dsDNA 拷贝。另一可能是 ssDNA 在 3' 末端形成返折环的自身引物, 产生了在 DNA 一端带有一个环的短的 dsDNA 拷贝。

以化学合成的寡核苷酸作为引物合成

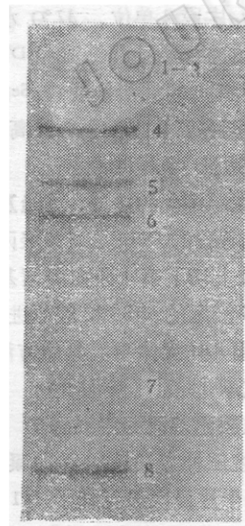


图 1 由病毒 RNA 合成的 ssDNA 聚丙烯酰胺凝胶电泳

Fig. 1 Polyacrylamide gel electrophoresis of ssDNA synthesized from virus RNA

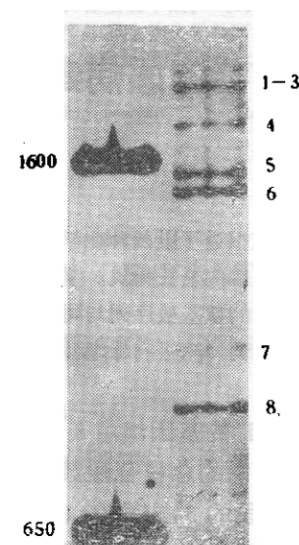


图 2 由病毒 ssDNA 合成的 dsDNA 聚丙烯酰胺凝胶电泳, 左侧是碱基大小标准 (bp)

Fig. 2 Polyacrylamide gel electrophoresis of dsDNA synthesized from ssDNA. Size standards were written in bp on the left

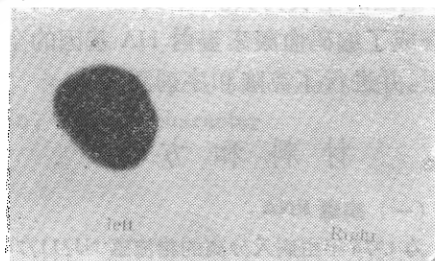


图 3 以 ^{32}P 标记的单链 cDNA(来自病毒 RNA 的拷贝)探针与重组 DNA 的点杂交(左侧), 右侧为质粒 DNA 对照, 无杂交点。

Fig. 3 Dot hybridization of recombinant DNA with ^{32}P labelled cDNA probe copied from virus RNA (Left). Plasmid DNA control (Right).

ds DNA 的优点是不需要以 S1 酶切去返折环的步骤, 所产生的不完整的 dsDNA 较少。

(二) 猪流感病毒血凝素基因的克隆和酶切图谱

以末端转移酶分别在 dsDNA 的 3' 末端和 Pst I 酶切后的 pBR322 DNA 的 3' 末

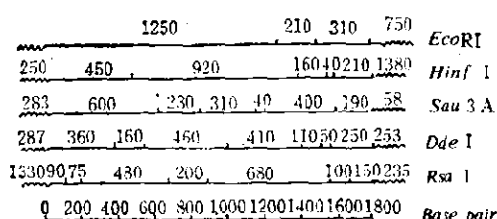


图 4 NJ/11/76 (X53a) 株血凝素基因酶切图谱。波浪线条表示与血凝素基因末端相连的质粒 DNA

Fig. 4 Preliminary restriction enzyme cleavage map of HA gene from strain NJ/11/76(X53a). Wavy lines are plasmid DNA attached to the ends of the inserts

端加上约 30 个 dC 和 dG 尾。从聚丙烯酰胺凝胶上切下血凝素基因带，即第 4 条带与 pBR322 DNA 进行体外重组，转化至大肠杆菌 RRI 受体。从四环素平皿上选出的重组子经琼脂糖电泳鉴定含有大小近似血凝素的插入物。以³²P 标记的单链 cDNA (来自 NJ/11/76 X53a 株 RNA 的 cDNA 拷贝) 作探针能与重组子 DNA 发生杂交 (图 3)。以各种核酸内切酶对重组 DNA 进行单酶和双酶消化，初步确定重组 DNA 内含有血凝素基因的全长拷贝，约 1770bp，

0	UCGUUUUUCGU	CCCCUUUUUAU	UUUCGGUGGC	UJJUACUUCCG	UUUAUGAUAAU
50	CAGAACAAUA	CAUGUAAAACG	UCGGUGUUUA	CGUCUGUGUG	AUACAUAUCC
100	AAUAGUACGU	UUAAUUAAGUU	GACUGUCACA	ACUAUGUCAU	GAUCUUUUCU
150	UACAUUGUCA	UUGUGUGAGA	CAAUUAGAAG	AACUUCUGUC	UGUAUUGGCC
200	UUUGAUACAU	UUGACCCCCC	CUAUCGGGU	AACGUGAACCC	CAUUUACAUU
250	GUAACGGCCA	UCCGAAAACC	CUUUGGGUCU	UACACUUAU	GAUGAGUGUC
300	AUUCGAGUAC	CAGAAUGUAA	CACCUUUGUA	GCUUUAGUCU	GUUACCCUGU
350	ACAAUAGGGUC	CUCUAAAGUA	GUUAAUACUU	CUCCACUCUC	UCGUCAACUC
400	GAGUCACAGU	AGUAAACUUU	CUAAGCUCUA	UAAGGGGUUC	UGUUCAAGCA
450	CCGGGUAGU	ACUJUGUJUG	UCUCCACACU	CGCCUGUAC	GGGAAUACGA
500	CCUCGUUGU	CGAAGAUGUC	UUUAAAUAU	ACCCACCAACU	UUUUUUCUUU
550	AAGUAUGGGU	UUCGAGUCGU	UUAGGAUACA	AUUGUUAUU	CCCUUCCUUC
600	AGGAACACGA	UACCCCCGUAA	GUAGUAGGUG	GAUGGUCAUG	ACUAGUUGUU
650	UCAGAGAUGG	UUUUACGUU	ACGGAUACAA	AAACAUCCCA	GUAGUUUUAU
700	AUUGUCUUUC	AAGUUCGCUC	UUUAUCGUCG	UUCUGGGUUC	CACUCUCCAG
750	UUCGUCCCCU	CUACUCGAUA	AUGACCUGUG	AUUAUCUUGG	ACCUCUGUGU
800	UAUJGUAAAC	UUCGUUGACC	JUUAUACAC	CAUGGUJCJA	UACGAAAGCG
850	UUACUUAUCU	CCAAGACCUC	GACCAUUAUA	UAAAACCCUA	CGUGGUCAAG
900	UACUAACAUU	GUGCUIJCACA	GUUUGUGGGU	UCCCACGGUA	UUUGUGGUUG
950	CAGGGUAAG	UCJUUAUGU	AGGUCCGGUGU	UAACCUCUUA	CAGGUUUUAU
1000	ACAGJUUUCG	UGUUUUUAACU	CCUACCGAUG	UCCUGAUUCC	UUACAGGGCA
1050	GAUAAGGUAG	AUCUCCAGAC	AAACCUCGGU	AACGACCAA	AUAACUCCCC
1100	CCUACCUUGUC	CUUACUACU	ACCUACCAUA	CCAAUAGUGG	UAGUCUUAACU
1150	UGUCCCCUAGU	CCJUACGUC	GCCUUGGUUC	CUCGUGUGUU	UUACGGUJAC
1200	UGCCCUUAGUG	AUJGUUUUCAU	UUAAAGACAAU	ACUUUUCUA	CUUGUGCGUU
1250	AAGUGCCGUC	ACCCAUUUCU	UAAGUUGGU	AACCUUUUUU	CUUAUCUUC
1300	AAAUUUGUJU	UCCAACUAC	UACCAAAGA	CCUAAUAAACC	UGUAUGUUAC
1350	GUJUUGACAA	CCAAGAJAAC	CUUUUACUUU	CUUGAGACCU	AAAGGUGUG
1400	AGCUUACAUU	UCUUGGACAJ	ACUCUJUCAJ	UCUUCGGUGC	AUUCUUGGUU
1450	ACGGGUJCUU	UAAACCUUAC	CGACGAAACU	UAAGAUAGUG	UUUACACUAC
1500	UAUGUACGUA	CCUCUCGCGAG	UUUUUACCU	GAUACUJAAU	GGGUUUUCAUG
1550	AGUCUUCU	GUUUCGAUJJ	GUCUCUCCUC	UAUCUACCUC	AUUUCAACCU
1600	CAGUUGUUCJ	UAAAUGGUCU	AAAACCGCUA	GAUAAAGUUGA	CAGCGGUCAA
1650	GUAAACCAUGA	CAACCAGAGG	GACCCCGUU	AGUAAAAC	CUACACGAGA
1700	UUACCCAGAA	AUGUCACGUG	UUUAUACAUU	AUUUGAUCC	UAAAGUCUCU
1750	GUACUCUUU	UUGUGGGAAC	AAAGAU		

图 5 猪流感病毒 A/NJ/11/76 (X53a) HA 基因的核苷酸序列(病毒 RNA 序列)

Fig. 5 Nucleotide sequence of the HA gene of swine influenza virus strain A/NJ/11/76 (X53a) (vRNA sequence)

WSN/33 PR/8/34 NJ/11/76	M K A K L L V L L Y A F V A T D A D T I C I G T H A N [] S T D T V D T I F E K N I C T A M L X [] [] V L 23
WSN/33 PR/8/34 NJ/11/76	V A V T H S V N L L E D R H N G K L C R L K G I A P L Q L G K C [] T G W L L G T S R C E P A 63
WSN/33 PR/8/34 NJ/11/76	N P E C D S L L P A R S W S Y I V E T P N S E N G A C Y P G D F I D Y E E L R E P V I E L D O T V S D S K D I N 103
WSN/33 PR/8/34 NJ/11/76	Q L S S V S S L E R F E I F P K E S S W P [] H - T P N G V T V S C S H R G K S S F F D T A A E N R A A P Y A A N 143
WSN/33 PR/8/34 NJ/11/76	F Y R N L L W L T K K G D S Y P K L T N S Y V N N K G K E V L V L W C V H H P S E E G K K I V E N A S K A A O O O I P 183
WSN/33 PR/8/34 NJ/11/76	S S D E Q Q S L Y S N G N A Y V S V A S S N Y N R R F T P E I A A R P K V K D Q N . K D N I Q E V T E R 223
WSN/33 PR/8/34 NJ/11/76	H G R M N Y Y W T L L E P G D T I I F E A T G N L I A P W Y A F A L S R G F E S A K N R P C 263
WSN/33 PR/8/34 NJ/11/76	G I I T S [] A S M H E C N T K C Q T P Q G S I N S N L P F Q N I H P V T I G E C I W D P V D K A [] S T S 303
WSN/33 PR/8/34 NJ/11/76	P K Y V R S T K L R M Y T G L R N I P S I Q Y S A K A S

图 6 猪流感和两株人流感血凝素 HA1 的氨基酸序列的比较
 大□表示碳水化合物附着位点 大○成熟血凝素 N 末端氨基酸
 以 A/PR/8/34 (Mt. Sinai) 定名的抗原区: ▲ Sa ■ Sb □ Cb ● Ca2 ○ Ca1

Fig. 6 The comparison of amino acid sequences of HA1 between two human strains and a swine strain. □ indicate potential sites for carbohydrate attachment.
 Antigenic regions defined for A/PR/8/34 (Mt. Sinai) are indicated:
 ▲ Sa ■ Sb □ Cb ● Ca2 ○ Ca1

并建立了酶切图谱(图 4)。

(三) 猪流感病毒血凝素基因的全序 列测定

图 5 为血凝素基因的全部核苷酸序列, 共由 1776 个核苷酸组成。3' 末端的 12 个核苷酸和其他 7 个基因片段的 3' 末端序列是一致的, 即 UCGUUUUCGUCC。整个序列编码 17 个氨基酸的信号肽, 326 个氨基酸的血凝素 HA1 和 222 个氨基酸的血凝素 HA2。HA1 和 HA2 之间由一个精氨酸相连。

(四) 猪流感血凝素与两株人流感血 凝素氨基酸序列的比较

由于血凝素 HA2 结构的保守性和流
感病毒抗原位点集中于 HA1 区, 故仅将
HA1 区氨基酸序列进行比较(图 6)。可见
猪流感 A/NJ/11/76 和两株人流感 A/PR/
8/34、A/WSN/33 的氨基酸序列具有高
度的同源性, HA1 约为 80%, HA2 约为 94%,
它们同属于 H1N1 亚型。同时可见猪流感
血凝素氨基酸的改变比较分散, 但基本上
位于或靠近 Caton 1982 年^[14]提出的 H1N1

亚型的已知抗原位点区，特别在 Ca2、Cb 和 Sb 位点区的氨基酸改变较为明显。与 A/WSN/33 相比，猪流感病毒血凝素失去三个碳水化合物附着位点，分别在第 58、127 和 269 氨基酸处，得到一个碳水化合物附着位点，在第 287 氨基酸处。一般认为碳水化合物附着位点（其氨基酸序列为 Asn-X-Ser 或 Asn-X-Thr）能掩盖抗原位点，从而妨碍抗体识别抗原，起调节抗原性的作用^[13,14]。猪流感血凝素缺乏能掩盖抗原位点的碳水化合物附着位点。从比较三株的 127—142 和 267—272 区的氨基酸（即碳水化合物附着位点区），可发现猪流感血凝素氨基酸序列的漂移。267—272 区在三向立体结构上相当于流感病毒 H3N2 亚型的 269—274 氨基酸区，即 C 抗原位点。

参 考 文 献

[1] Desselberger, U. et al.: *Virology*, **88**: 394—

- 399, 1978.
- [2] Sleigh, M. J. et al.: *Nucleic Acid. Res.*, **6**: 1309—1321, 1979.
- [3] Robertson, J. S.: *Nucleic. Acid. Res.*, **6**: 3745—3757, 1979.
- [4] Skehel, J. J. et al.: *Nucleic. Acid. Res.*, **5**: 1207—1218, 1978.
- [5] Winter, G. et al.: *ibid.*, **9**: 237—245, 1981.
- [6] Gait, M. J. et al.: *ibid.*, **8**: 1081—1096, 1980.
- [7] Gait, M. J. et al.: *Nucleic. Acid. Res. Symposium Series*, No. 7: 243—258, 1980.
- [8] Sleigh, M. J. et al.: *Nucleic. Acid. Res.*, **7**: 879—893, 1979.
- [9] Messing, J. et al.: *ibid.*, **9**: 309—321, 1981.
- [10] Sanger, F. et al.: *PNAS*, **74**: 5463—5467, 1977.
- [11] Maxam, A. and W. Gilbert: *Ibid.*, **74**: 560—564, 1977.
- [12] Both, G. W. et al.: *J. Virol.*, **39**: 663—672, 1981.
- [13] Wiley, D. C. et al.: *Nature*, **289**: 373—378, 1981.
- [14] Caton, A. J. et al.: *Cell*, **31**: 417—427, 1982.
- [15] Kilbourne, E. D.: *PNAS*, **75**: 6258—6262, 1978.

CLONING AND SEQUENCING OF THE HEMAGGLUTININ GENE OF SWINE INFLUENZA VIRUS*

Shi Chenghua G. W. Both

Complete double-stranded DNA copies of the RNAs of swine influenza virus NJ/11/76 (X53a) have been synthesized by using two synthetic oligodeoxynucleotide primers. The gene encoding the hemagglutinin, prepared with these primers, has been cloned and sequenced. A comparison is made on the predicted amino acid sequence of swine influenza hemagglutinin with those of two other human strains and

the results are discussed.

Key words

Influenza virus RNA; Reverse transcription; Cloning; Nucleotide sequence; Antigenic variation

* This article was completed in CSIRO Molecular Biology Laboratory, Australia.